

ΕΔΑΦΙΚΕΣ ΔΙΑΡΡΗΞΕΙΣ ΜΕ ΤΑΥΤΟΧΡΟΝΗ ΕΚΤΙΝΑΞΗ ΝΕΡΟΥ ΚΑΙ ΆΜΜΟΥ
ΚΑΤΑ ΤΟ ΣΕΙΣΜΟ ΤΗΣ 16 - 10 - 1988 ΣΤΗ ΠΕΡΙΟΧΗ ΒΑΡΘΟΛΟΜΙΟΥ
(ΔΥΤ. ΠΕΛΟΠΟΝΝΗΣΟΣ, ΕΛΛΑΣ)

Από τους

Η. ΜΑΡΙΟΛΑΚΟ, Ε. ΛΕΚΚΑ, Γ. ΔΑΝΑΜΟ, Ε. ΛΟΓΟ, Ι. ΦΟΥΝΤΟΥΛΗ

Περιληπτικό

Περιγράφονται εδαφικές διαρρήξεις και φαινόμενα εκτίναξης νερού και άμμου τα οποία παρατηρήθηκαν κατά τη σεισμική δραστηριότητα της 16-10 1988 στη περιοχή Μπούκας Βαρθολομείου (Δυτ. Πελοπόννησος). Πρόκειται για εντυπωσιακά και σπάνια φαινόμενα τα οποία οφείλονται καθαρά στις σεισμικές κινήσεις και στη φύση των γεωλογικών σχηματισμών της περιοχής. Οι εδαφικές διαρρήξεις έχουν συγκεκριμένες διευθύνσεις και αναπτύσσονται στο ένα επιφανειακό σχετικά άκαπτο και συμπαγή σχηματισμό, ο οποίος υπέρκειται ενός χαλαρού σχηματισμού με υδροφορία. Η εκτίναξη νερού και άμμου έγινε κύρια μέσα από τις εδαφικές διαρρήξεις και οφείλεται σε φαινόμενα ρευστοποίησης του κατώτερου σχηματισμού.

Abstract

Soil fractures and sand shaking off observed during the seismic activity of the October 16 1988 at the Bouka Vartholomio region (W. Peloponnesus, Greece), will be described. They are quite impressive and rare phenomena due sheerly to the earthquake movements occurred and the structure of the geological background of the area. The soil fractures have quite particular directions and they develop on a rather flexible and coarse formation overlaing a loose water bearing formation. Water and sand have been ejected through these particular fractures. This is due to the liquefaction phenomena of the lower formation.

I. MARIOLAKOS, E. LEKKAS, G. DANAMOS, E. LOGOS, I. FOUNTOULIS :
Soil fractures and sand, water's shaking off observed during the
earthquake of October 16 1988 at the region of Vartholomio (W.
Peloponnesus, Greece).

Dynamic, Tectonic, Applied Geology, Department of Geology,
University of Athens, Panepistimiopoli Zografou 157 84.

I ΕΙΣΑΓΩΓΗ

1. Η ΓΕΩΓΡΑΦΙΚΗ ΘΕΣΗ ΠΑΡΑΤΗΡΗΣΗΣ ΤΩΝ ΦΑΙΝΟΜΕΝΩΝ · ΣΚΟΠΟΣ ΤΗΣ ΜΕΛΕΤΗΣ

Στις 16 Οκτωβρίου 1988 και ώρα 14.34.06 η ευρύτερη περιοχή Κυλλήνης - Βαρθολομείου - Ζακύνθου επλήγη από σεισμό $M=5.5$ R. Το επίκεντρο του σεισμού, το οποίο απειχε περίπου 240 χιλιόμετρα δυτικά των Αθηνών τοποθετήθηκε στο Βόρειο άκρο του δισύλου της Χερσονήσου της Κυλλήνης και της Ζακύνθου (Εικ. 1). Η κύρια σεισμική κίνηση συνοδεύτηκε από πολλούς μετασεισμούς μικρότερου μεγέθους ενώ και πριν από τον κύριο σεισμό είχαν σημειωθεί μικρές σεισμικές κινήσεις. Η σεισμική δραστηριότητα είχε σαν αποτέλεσμα να προκληθούν εκτεταμένες καταστροφές στην ευρύτερη περιοχή του Νομού Ηλείας με περισσότερο σημαντικές στο Κάστρο, στο Βαρθολομείο στην Κυλλήνη, στα λουτρά Κυλλήνης, στη Γαστούνη κ.ά.

Ταυτόχρονα με την κύρια σεισμική δόνηση παρατηρήθηκαν νότια του Βαρθολομείου εδαφικές διαρρήξεις και σπάνια φαινόμενα εκτίναξης νερού και άμμου. Η περιοχή παρατήρησης των φαινομένων απέχει περί τα 400 μέτρα από την ακτή Μπούκα, έχει ύψομετρο 4 μέτρα, έκταση 10 περίπου στρέμματα και ορίζεται προς τα ανατολικά από την οχθή του Πηνειού ποταμού, προς τα δυτικά από τον αγροτικό δρόμο Βαρθολομείου - Μπούκας, προς τα βόρεια από μιά ελώδη θάλασσα πλάτους 10 περίπου μέτρων και προς τα νότια από τις μορφολογικές εξάρσεις των θινών της παραλίας.

Κύριοι στόχοι μετά την παρατήρηση των φαινομένων τέθηκαν κατά σειρά οι ακόλουθοι:

- α. Να γίνει λεπτομερής αποτύπωση των εδαφικών διαρρήξεων και των χασμάτων και να καταγραφούν τα ιδιαίτερά τους χαρακτηριστικά.
 - β. Να γίνει λεπτομερής αποτύπωση και περιγραφή των σημειωνών εκτίναξης νερού και άμμου.
 - γ. Να διερευνηθεί το υπέδαφος με την εκτέλεση μικρού βάθους δειγματοληπτικών γεωτρήσεων.
 - δ. Να συσχετισθούν οι εδαφικές διαρρήξεις με τις τεκτονικές ασυνέχειες και τη γεωλογική δομή της ευρύτερης περιοχής.
 - ε. Να αιτιολογηθούν τα φαινόμενα εκτίναξης νερού και άμμου.
- στ. Να αιτιολογηθεί γιατί τα φαινόμενα περιορίζονται μόνο στην συγκεκριμένη περιοχή και δεν παρατηρούνται σε ευρύτερη έκταση.

2. ΤΑ ΦΑΙΝΟΜΕΝΑ ΕΚΤΙΝΑΞΗΣ ΝΕΡΟΥ ΚΑΙ ΆΜΜΟΥ ΣΤΟΝ ΔΙΕΘΝΗ ΚΑΙ ΣΤΟΝ ΕΛΛΗΝΙΚΟ ΧΩΡΟ

Τα φαινόμενα εκτίναξης νερού και άμμου είναι φαινόμενα τα οποία συνδέονται συχνά με σεισμικές κινήσεις. Εκδηλώνονται κυρίως κατά τη διάρκεια μεγάλων σεισμών και συνεχίζουν να υφίστανται για

μικρά ή μεγάλα χρονικά διαστήματα. Σε εξαιρετικές περιπτώσεις παρατηρήθηκαν και πριν από την εκδήλωση μεγάλων σεισμών, με αποτέλεσμα να θεωρούνται και πρόδρομα φαινόμενα (WAKITA 1984, 1985).

Μία από τις πληρέστερες καταγραφές φαινομένων εκτίναξης νερού και άμμου έχινε από τον WAKITA (1984-1985) στο Ιαπωνικό νησιώτικο σύμπλεγμα. Συνολικά αναφέρονται πενήντα περίπου περιπτώσεις εκτίναξης νερού και άμμου που συνδέευσαν σεισμούς μεγέθους M > 6.0 R από το 634 Μ.Χ. ως το 1978 καθώς επίσης και δύο περιπτώσεις φαινομένων που έλαβαν χώρα πριν από μεγάλους σεισμούς.

Άναλογα φαινόμενα έχουν αναφερθεί και καταγραφεί στις Η.Π.Α., στις Ινδίες (15 Ιανουαρίου 1934, HECK 1936), στην Κίνα (28 Ιουλίου 1976, FANK HONGQI 1987), στη Σοβιετική Ένωση (WAKITA 1984-85) στην Γιουγκοσλαβία κατά μήκος της παράκτιας περιοχής (15 Απριλίου 1979, TALAGANOV et.al 1981) και αλλού.

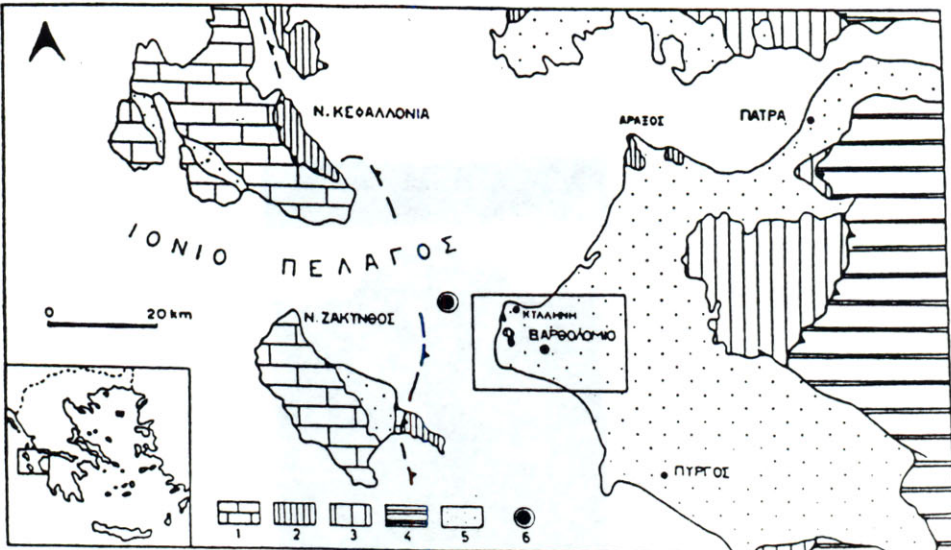
Στον Ελληνικό χώρο έχουν αναφερθεί και καταγραφεί περιπτώσεις φαινομένων εκτίναξης νερού και άμμου. Συγκεκριμένα ο ΓΑΛΑΝΟΠΟΥΛΟΣ (1976) αναφέρει ότι ο SCHMIDT παρατήρησε φαινόμενα εκτίναξης νερού και άμμου κατά τον σεισμό του Άγιου πλήσιον της ακτής και μεταξύ των ποταμών Ερασίνου και Μεζανίτου, τα οποία συνδέευσαν πολλές εδαφικές διαρρήξεις, και μετατοπίσεις γραμμών ακτών. Άναλογα φαινόμενα αναφέρονται και από τον ΜΑΡΑΒΕΛΑΚΗ (1941) κατά τους σεισμούς της λαρισαϊκής (1 Μαρτίου 1941) κοντά στα χωριά Ελευθέριο και Νέσσο Καθώς επίσης και από τον Ι. ΠΑΠΑΣΤΑΜΑΤΙΟΥ κατά τον σεισμό των Σοφάδων στις 30 Απριλίου 1954. (ΠΑΠΑΣΤΑΜΑΤΙΟΥ & ΜΟΥΓΙΑΡΗΣ, 1986).

3. Η ΓΕΩΛΟΓΙΚΗ ΔΟΜΗ ΤΗΣ ΕΥΡΥΤΕΡΗΣ ΠΕΡΙΟΧΗΣ

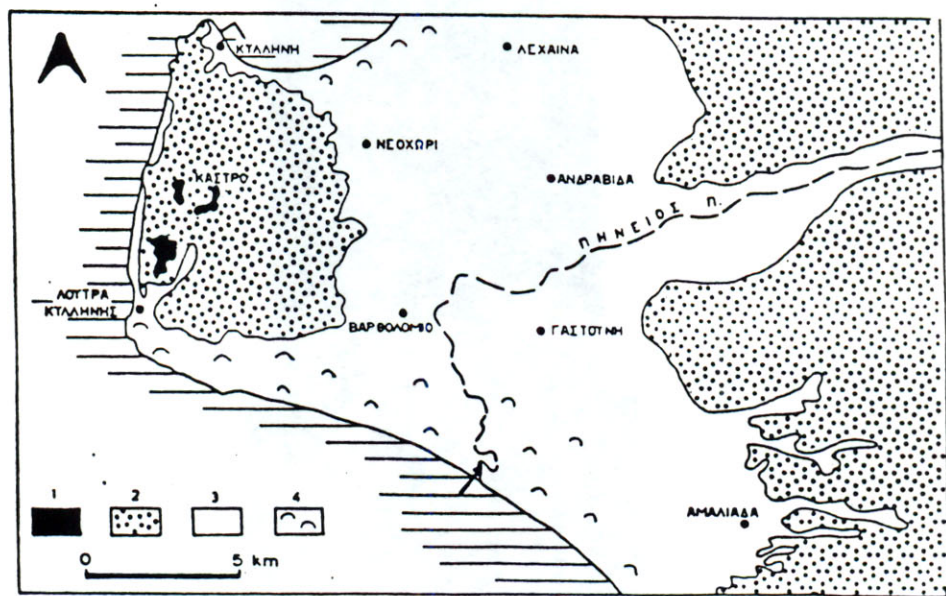
Στην ευρύτερη περιοχή παρατήρησης των εδαφικών διαρρήξεων και των φαινομένων εκτίναξης νερού και άμμου (Κυλλήνη - Κάστρο - Βαρθολομείο - Αμαλιάδα - Αραξος) σύμφωνα με τα δεδομένα παλαιότερων και νεώτερων ερευνών (ΧΡΙΣΤΟΔΟΥΛΟΥ 1969, 1970, HAGEMAN 1977, KOWALCZYK & WINTER 1979a, 1979b, ΚΑΜΠΕΡΗΣ 1987, UNDERHILL 1985, 1988 κ.ά.) καθώς επίσης και σύμφωνα με τις παρατηρήσεις μας στο ύπατθρο εμφανίζονται Άλπικοι και Μεταλπικοί σχηματισμοί (Εικ. 1, 2).

Οι Άλπικοι σχηματισμοί αποτελούν το υπόβαθρο και ανήκουν στην Ιόνια Ενότητα. Ειδικότερα στην περιοχή του χωριού Κάστρο και σε ορισμένα σημεία της ακτής Κυλλήνης - Λουτρών Κυλλήνης εμφανίζονται γύψοι πιθανώτατα Τριαδικής πλικίας οι οποίοι υπόκεινται υπόλευκων μεσοστρωματωδών και πτυχωμένων ασβεστολίθων με ορισμένες παρεμβολές οριζόντων *bilex* (ΧΡΙΣΤΟΔΟΥΛΟΥ 1969). Η πλικία των ασβεστολίθων είναι Κρητιδικό - Ηώκαλνο ενώ η επαφή των δύο σχηματισμών (ασβεστολίθων - γύψων) είναι τεκτονική εξ αιτίας των φαινομένων διαπειρασμού των γύψων. Ασβεστολίθοι της Ιονίου ενότητας εμφανίζονται επίσης και στα Ακρωτήρια Αραξος και Κουνουπέλι.

Οι Μεταλπικοί σχηματισμοί επικάθονται ασύμφωνα στους Άλπικους σχηματισμούς εμφανίζονται σε όλη την υπόλοιπη έκταση έχουν πλικία Πλειο - Πλειοστόκαλνο. Ολόκαλνο ενώ παλαιότερα ιζηματα (Μειοκαλνικά) έχουν εντοπισθεί με γεωτρήσεις στη θαλάσσια περιοχή του Κόλπου Χελωνίτη. (ΔΑΒΗ 1957, κ.ά.).



Εικ. 1. Γενικευμένος χάρτης με το επίκεντρο του σεισμού της 16-10-1988 και τις γειτονικές Γεωτεκτονικές ενότητες. 1. Παξών, 2. Ιόνιος, 3. Γαβρόβου - Πύλου, 4. Θλονού - Πίνδου, 5. Μεταλπικά 6. Επίκεντρο. Με το πλαστό σημειώνεται η περιοχή της Εικ. 2.



Εικ. 2. Απλουστευμένος γεωλογικός χάρτης της ευρύτερης περιοχής εμφάνισης των φαινομένων εκτίναξης νερού και άμου Καθώς και των εδαφικών διαρρήξεων. Η θέση τους σημειώνεται με το Βέλος. (1. Άλπικο σχηματισμό της Ιονίου Ενότητας, 2. Πλειο-Πλειστοκανικού σχηματισμού, 3. Άλπισθια, 4. Θινές).

Τα Πλειο-Πλειστοκαλυντικά είναι κυρίως κροκαλοπαγή, ψαμμίτες, αμμοί, ιλύς και άργιλοι με ορισμένες ενδιαστρώσεις λιγνιτικών οριζόντων, συνολικού πάχους πάνω από 1500 μέτρα. Τα Πλειο-Πλειστοκαλυντικά ισήματα έχουν διαχωρισθεί σε σχηματισμούς από διάφορους ερευνητές (ΧΡΙΣΤΟΔΟΥΛΟΥ 1969, HAGEMAN 1977, KOWALCZYK & WINTER 1979a, 1979b, ΚΑΜΠΕΡΗΣ 1987, κ.ά.) με βάση λιθολογικά, ισηματολογικά ή στρωματογραφικά κριτήρια. Τα Ολοκαλυντικά ισήματα αποτελούνται κυρίως από εναλλαγές μικρολατυποπαγών, όμων, ψαμμιτών, ιλύων και αργιλών με συνολικό πάχος πάνω από 20 μέτρα. Εμφανίζονται κυρίως στην πεδινή επιπεδη περιοχή λεχαίνων, Ανδραβίδας, Γαστούνης και Βαρθολομίου.

Κατά μήκος της παράκτιας θάλασσας Κυλλήνης, λουτρών Κυλλήνης και Μπούκας εμφανίζονται θίλυες οι οποίες έχουν χαρακτηριστικές πηλικυκλικές μορφές και αποτελούνται από περισσότερο ή λιγότερο συνεκτικές όμοιες χαλαζιακής σύστασης.

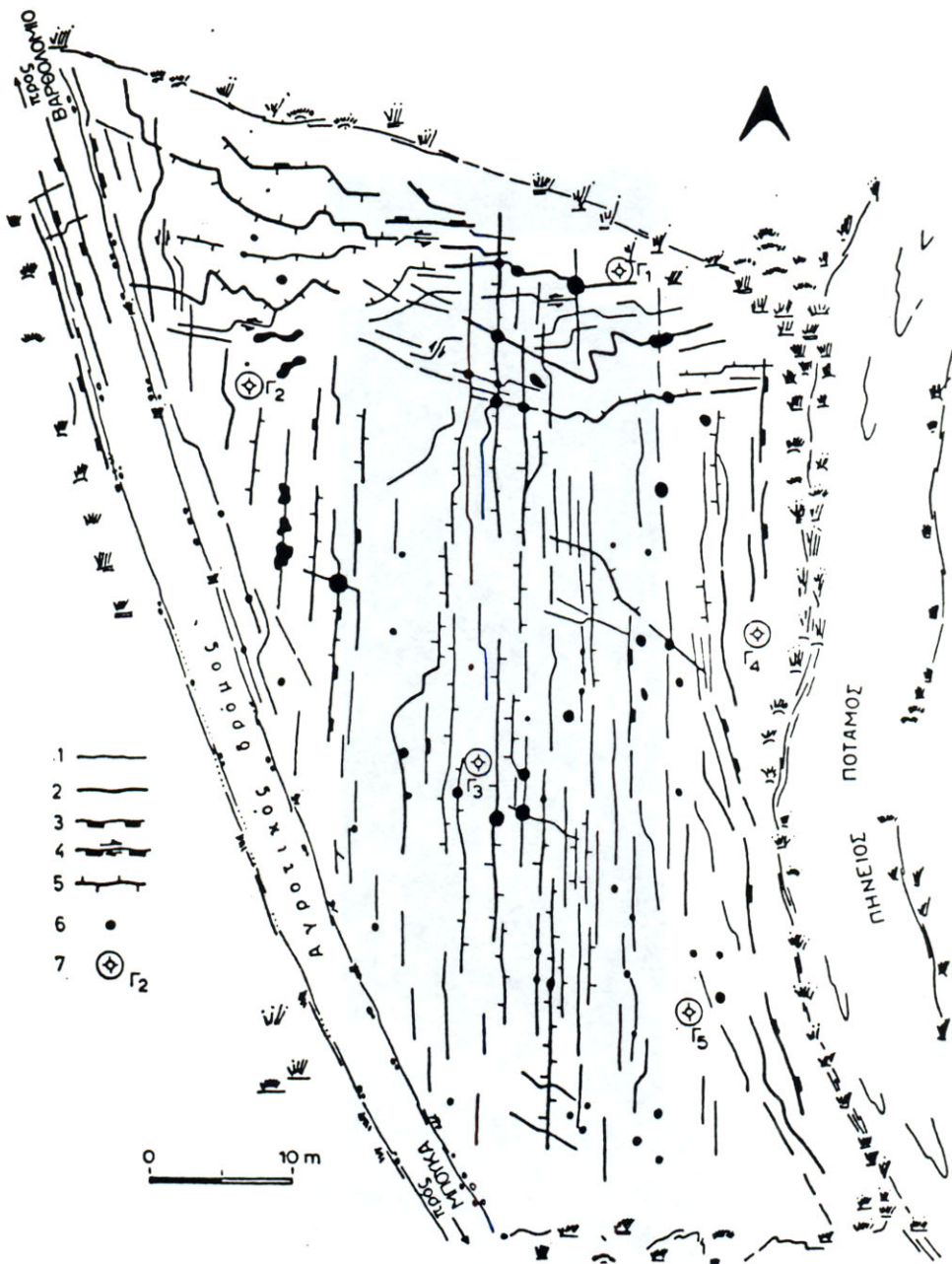
Στο σύνολό τους οι Άλπικοι σχηματισμοί της Ιονίου ενότητας σχηματίζουν ένα τεκτονικό βυθισμα γενικής διεύθυνσης Β-Ν το οποίο έχει καλυψθεί σχεδόν ολοσχατρώς από τους Μεταλπικούς σχηματισμούς. Τα κορυφαία τμήματα του δυτικού περιθώριου του βυθισμάτος εμφανίζονται στην περιοχή του Κάστρου, ενώ τα αντίστοιχα του ανατολικού περιθώριου στα ακρωτήρια Άραξος και Κουνουπέλι. Ο άξονας του βυθισμάτος, το οποίο έχει επιβεβαιωθεί τόσο από τις βαθειές γεωτρήσεις που έχουν εκτελεσθεί κατά καιρούς για την ανεύρεση πετρελαίου, δύο και από την ερμηνεία των γεωφυσικών δεδομένων, έχει διεύθυνση Β-Ν και ευρίσκεται 3-5 χιλιόμετρα δυτικά της νοτιής γραμμής λεχαίνα - Ανδραβίδα - Γαστούνη.

Η συγκεκριμένη περιοχή παρατήρησης των φαινομένων ευρίσκεται στον άξονα του βυθισμάτος όπου τα Μεταλπικά ισήματα έχουν πάχος 1400 περίπου μέτρα, σύμφωνα με τα δεδομένα γειτονικών γεωτρήσεων και την ερμηνεία των γεωφυσικών διασκοπήσεων (ΚΑΜΠΕΡΗΣ 1987). Ο κορυφαίος σχηματισμός στην περιοχή είναι ο σχηματισμός των παράκτιων θιλών ο οποίος όπως αναφέρθηκε αποτελείται από όμοιες μέσα στους οποίους παρατηρήθηκαν λεπτές παρεμβολές λεπτομερέστερων υλικών. Οι όμοιοι έχουν καλυψθεί κατά θέσεις από εδαφικό κάλυμμα μικρού πάχους ή ποτάμιες αποθέσεις (ιλύς - άργιλος) του Πηνειού ποταμού.

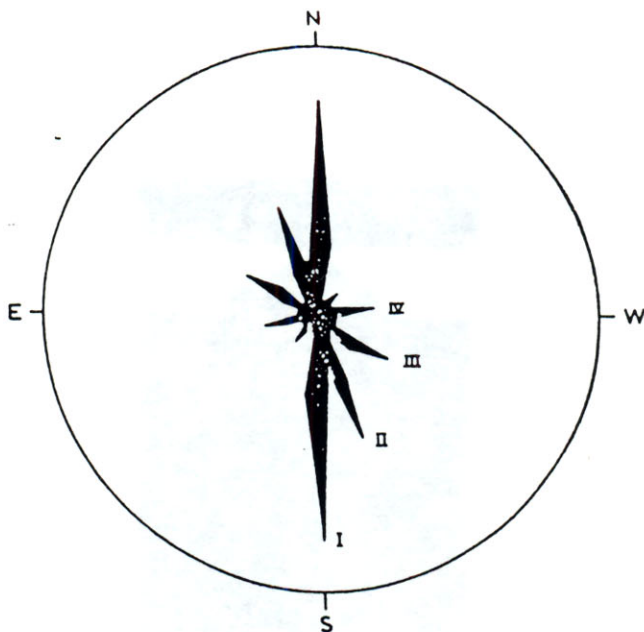
II ΠΕΡΙΓΡΑΦΗ ΤΩΝ ΦΑΙΝΟΜΕΝΩΝ

1. ΟΙ ΕΔΑΦΙΚΕΣ ΔΙΑΡΡΗΞΕΙΣ

Οπως αναφέρθηκε ο σεισμός της 16-10-1988 συνοδεύτηκε από εδαφικές διαρρήξεις που παρατηρήθηκαν σε διάφορες θέσεις στην Χεροόνησο της Κυλλήνης. Οι διαρρήξεις που μελετήθηκαν εντοπίζονται σε μία έκταση 10 περίπου στρεμμάτων νότια του Βαρθολομίου που απέχει 400 μέτρα από την ακτή Μπούκα. Οι εδαφικές διαρρήξεις χαρτογραφήθηκαν με ακρίβεια (Εικ. 3) και καταγράφηκαν τα ιδιαίτερά τους χαρακτηριστικά. Κατά τη χαρτογράφηση διαπιστώθηκαν τα ακόλουθα:



Εικ. 3. Χάρτης των εδαφικών διάρροισεων και των φαινομένων εκτίναξης νερού και ύδρου στην περιοχή Μπούκα Βαρθολομεού (1. Εδαφική διάρροη 2. Εδαφική διάρροη με μεγάλο εύρος. 3. Εδαφική διάρροη με όλμα 4. Εδαφική διάρροη με οριζόντια συνιστώσα 5. Ανάβλυση κατά μήκος εδαφικής διάρροης 6. Κρατήρας εκτίναξης 7. Θέση Γεώτρησης).



Εικ. 4. Τα τέσσερα συστήματα των εδαφικών διαρρήξεων.

- a. Οι εδαφικές διαρρήξεις έχουν μήκος λίγα εκατοστά ως μερικές δεκάδες μέτρα, είναι ως επί το πλειστον ουσιαστικά ή ελάχιστα αποκλινουσες, αλλά και καμπύλες. Σε πολλά σημεία αλλάζουν διεύθυνση ή τέμνονται από άλλες διαρρήξεις.
- b. Το πλάτος των διαρρήξεων κυμαίνεται από λίγα χιλιοστά ως 40 περίπου εκατοστά. Οι πλέον μεγάλες σε πλάτος παρατηρούνται στο ανατολικό τμήμα διπλά στην όχθη του Πηνειού ποταμού στο Βόρειο και στο Βορειοδυτικό τμήμα κατά μήκος του αγροτικού δρόμου Βαρθολομείου - Μπούκας.
- c. Τα ορατά βάθη των διαρρήξεων υπερβαίνουν τα 40 εκατοστά ενώ στις περισσότερες περιπτώσεις τα κενά των διαρρήξεων έχουν καλυψθεί από εδαφικά υλικά των εκατέρωθεν πλευρών που κατέρρευσαν. Ειδικά στις διαρρήξεις που παρατηρούνται κατά μήκος του αγροτικού δρόμου Βαρθολομείου - Μπούκας τα βάθη τους ήταν μεγαλύτερα (60-70 εκατοστά) λόγω της υψομετρικής διαφοράς δρόμου - υπόλοιπης έκτασης που είναι περίπου 20-30 εκατοστά.
- d. Οπως προέκυψε από την στατιστική επεξεργασία των διευθύνσεων των διαρρήξεων υφίστανται τέσσερα συστήματα διαρρήξεων (Εικ. 4). Το πρωτεύον σύστημα έχει διεύθυνση Β-Ν περιλαμβάνει τις μεγαλύτερες σε μήκος διαρρήξεις και εμφανίζεται σε κάθε επί μέρους τμήμα της περιοχής. Το δευτερεύον σύστημα έχει διεύθυνση ΒΒΔ-ΝΝΑ (160° - 340°), περιλαμβάνει διαρρήξεις με μεγάλο πλάτος και εμφανίζεται κυρίως στο ανατολικό τμήμα διπλά στην όχθη του Πηνειού ποταμού και στο ΒΔ τμήμα κατά

μήκος και εκατέρωθεν του δρόμου Βαρθολομίου - Μπούκας. Το τριτεύον και υπολοιπόμενο έχει διευθύνσεις ΝΑ-ΒΔ (120°-300°) και ΒΑΑ-ΝΔΔ (080°-260°) αντίστοιχα περιλαμβάνουν διαρρήξεις οι οποίες εμφανίζονται στο Βόρειο τμήμα.

- ε. Σε ορισμένες διαρρήξεις ή σε ορισμένα τμήματα διαρρήξεων παρατηρούνται άλματα της τάξεως 5-10 εκατοστών. Ζεύγη τέτοιων διαρρήξεων ορισθετούν σε εξαρετικές περιπτώσεις μικρο-μπλόκ τα οποία δίδουν την εικόνα μικρο-τάψων ή μικροκεράτων με ή χωρίς περιστροφή. Ήλια χαρακτηριστική περίπτωση μικροτάψων είναι αυτή που παρατηρείται κατά μήκος του αγροτικού δρόμου Βαρθολομίου - Μπούκας όπου δύο παράλληλες διαρρήξεις του δεύτερου συστήματος (160°-340°) έχουν άλματα της τάξης των 10 εκατοστών με αποτέλεσμα το μικρο-τέμαχος που ορισθετούν να έχει ταπεινωθεί σε σχέση με τα εκατέρωθεν (Εικ. 5).
- στ. Σε ορισμένα σημεία κατά μήκος μερικών διαρρήξεων παρατηρήθηκαν δεξιεύστροφες ή αριστερόστροφες μετατοπίσεις της τάξης των 5 εκατοστών.
- ς. Ορισμένες διαρρήξεις του πρώτου συστήματος συνέπιπταν με τα βαθύτερα τμήματα των αυλακώσεων της καλλιέργειας. Οι διαρρήξεις αυτές είχαν περιορισμένο εύρος αλλά σχετικά μεγάλο μήκος.

2. ΤΑ ΦΑΙΝΟΜΕΝΑ ΕΚΤΙΝΑΞΗΣ ΝΕΡΟΥ ΚΑΙ ΑΜΜΟΥ

Ταυτόχρονα με τις εδαφικές διαρρήξεις κατά τον σεισμό της 16-10-1988 παρατηρήθηκαν εντυπωσιακά φαινόμενα εκτίναξης νερού και άμμου τα οποία σύμφωνα με μαρτυρίες αγροτών της περιοχής διήρκεσαν για μερικές ώρες μετά τη σεισμική δόνηση. Άπο τη μελέτη στην περιοχή παρατηρήθηκε ότι η εκτίναξη νερού και άμμου καθώς επίσης και άλλων υλικών (χαλίκων, λινών, αργιλών) έγινε μέσα (i) από κρατήρες που ευρίσκοντο κατά μήκος των εδαφικών διαρρήξεων (ii) από κρατήρες οι οποίοι ευρίσκοντο στην τομή δύο ή περισσοτέρων εδαφικών διαρρήξεων (iii) από τις διεις τις διαρρήξεις σε όλο το μήκος τους ή σε ένα μεγάλο τμήμα τους και (iv) από μεμονωμένους κρατήρες ή ομάδες κρατήρων (Εικ. 3). Ειδικότερα:

- α. Οι κρατήρες κατά μήκος των εδαφικών διαρρήξεων είχαν διάμετρο ως 40 εκατοστά (Εικ. 6). Γύρω από αυτούς αποτέθηκαν αρχικά κυανές λιύες και στη συνέχεια καστανέρυθροι άμμοι που μάλιστα διατάσσονται σε ομόκεντρους κύκλους. Επίσης από την ποσότητα και τη διάταξη των υλικών γύρω από τους κρατήρες συμπεραίνεται ότι η ταχύτητα εκροής θα πρέπει να ήταν σχετικά έντονη. Μετά την ολοκλήρωση της διαδικασίας εκτίναξης επιτήθε συμπύκνωση των υλικών - λόγω της απώλειας ύδατος - με αποτέλεσμα τα κεντρικά τμήματα των κρατήρων λόγω απώλειας στήριξης να καταφρεύσουν.



Εικ. 5. Εδαφικές διαρρήσεις διεύθυνσης NNA-BBD κατά μήκος του αγροτικού δρόμου Βαρθολομεού - Μπούκας. Οι διαρρήσεις έχουν άλμα της τάξης των 5-10 εκατοστών με αποτέλεσμα το ενδιάμεσο μικρο-τεμαχίο να έχει ταπεινωθεί σε σχεση με τα εκατέρωθεν.



Εικ. 6. Κρατήρας εκτίναξης νερού άμμου και λάυρος κατά μήκος διαρροής. Διακρίνονται η απόθεση αρχικά της λάυρος και στη συνέχεια της άμμου. Επίσης διακρίνεται η κατάφρευση του κεντρικού τυμπανού του κρατήρα μετά από τη συμπύκνωση των υλικών λόγω της απώλειας ύδατος.



Εικ. 7. Κρατήρας ανάβλυσης στην τομή δύο εδαφικών διάφραξεων. Τα υλικά που παραπηρούνται στον κρατήρα είναι λεπτομερή εξ αιτίας της μικρής ταχύτητας εκροής του νερού λόγω της μεγάλης διαμέτρου.



Εικ. 8. Εκτίναξη κατά μήκος εδαφικής διάφραξης. Διακρίνεται εκατέρωθεν της διάφραξης οι αποθέσεις άμμου - χαλικών και λίνος.



Εικ. 9. Κρατήρες γύρω από τους οποίους διακρίνονται οι αποθέσεις άμμου. Από τη μορφή και το μέγεθος των κρατήρων συμπεραλνεται ότι η εκτίναξη θα πρέπει να ήταν ιδιαίτερα έντονη ενώ είναι πιθανή και η συμμετοχή αέριας φάσης στη διαδικασία εκτίναξης.

8. Οι κρατήρες οι οποίοι ευδιάκοντο στην τομή δύο ή περισσοτέρων εδαφικών διαρρήξεων είχαν ως επί το πλείστον μεγάλες διαμέτρους οι οποίες συχνά υπέρβαιναν τα 60 εκατοστά ψθάνοντας και το ένα μέτρο (Εικ. 7) λόγω των διαστάσεων τους η ταχύτητα εκροής θα πρέπει να ήταν σχετικά μικρή γεγονός που επιβεβαιώνεται και από την παρουσία μέσα ή γύρω από αυτές μόνο λεπτομερών υλικών, κυρίως λεπτών άμμων ιλύων και αργίλων και όχι αδρομερών (π.χ. χονδροί άμμοι, χάλικες). Από την μορφή των κρατήρων συμπεραλνεται ότι πρώτα έλαβε χώρα κατάπτωση του επιφανειακού σχηματισμού και στη συνέχεια άνοδος των υλικών.
- γ. Η εκροή - εκτίναξη κατά μήκος των εδαφικών διαρρήξεων είχε οσαν αποτέλεσμα την απόθεση καστανέρυθρης άμμου, οριομένων χαλίκων και κυανών ιλύων (Εικ. 8). Και στην περίπτωση αυτή από τη διάταξη των υλικών συμπεραλνεται ότι πρώτα έλαβε χώρα η εκτίναξη των λεπτομερών υλικών και ακολούθησε η εκτίναξη των αδρομερών.
- δ. Οι μεμονωμένοι κρατήρες είχαν σχετικά μικρή διάμετρο η οποία δεν υπερέβαινε τα 20 εκατοστά. Γύρω από τις οπές υπήρχε μεγάλη συσσώρευση καστανέρυθρης άμμου (Εικ. 9). Η ταχύτητα εκτίναξης θα πρέπει να ήταν σχετικά μεγάλη ως πολύ μεγάλη γεγονός που προκύπτει από το σχήμα του κρατήρα και τα υλικά που αποτέθηκαν. Η πιθανότητα ύπαρξης και αερίων (φυτικής προ-

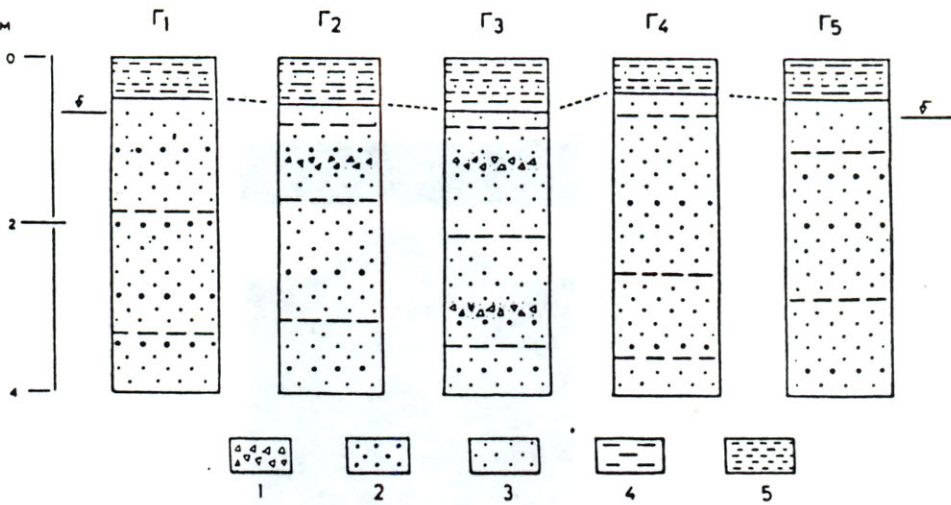
έλευσης) στη διαδικασία εκτίναξης σε αυτή την περίπτωση είναι πολύ πιθανή.

Θα πρέπει να σημειωθεί ότι η εκτίναξη νερού και ύδρου παρατηρείται με την ίδια συχνότητα σε κάθε επί μέρους τμήμα της περιοχής εμφάνισης των φαινομένων. Ειδικά όμως στις διαφορήσεις οι οποίες τέμουν ή βρίσκονται εκτερωθεν του αγροτικού δρόμου αν και οι διαστάσεις τους ήταν σημαντικές (μήκος - πλάτος) εν τούτοις δεν παρατηρήθηκαν ανάλογα φαινόμενα.

III ΤΑ ΔΕΔΟΜΕΝΑ ΤΩΝ ΓΕΩΤΡΗΣΕΩΝ

Για να διερευνηθούν πλήρως τα φαινόμενα εκτίναξης νερού και ύδρου στην περιοχή που αναφέρθηκε, κρίθηκε οκόπιμο να εκτελεσθούν ορισμένες γεωτρήσεις έτοις ώστε να υπάρχει μια ολοκληρωμένη εικόνα των σχηματισμών, τόσο από καθαρά γεωλογική άποψη όσο και από γεωτεχνική. Συνολικά έγιναν πέντε γεωτρήσεις μικρού βάθους με χειροκίνητη αρίδα η οποία είχε τη δυνατότητα δειγματοληψίας. Οι θέσεις των γεωτρήσεων (Εικ. 3) ήταν τέτοια έτοις ώστε να καλύπτεται ισομερώς όλη η περιοχή εμφάνισης των φαινομένων. Από τις γεωτρήσεις (Εικ. 10) τη δειγματοληψία και τις κοκκομετρικές αναλύσεις των δειγμάτων (Εικ. 11) διαπιστώθηκαν τα ακόλουθα:

- Από την επιφάνεια του εδάφους μέχρι και βάθος 50 εκατοστά αναπτύσσεται ένας σχηματισμός καστανέρυθρου χρώματος ο οποίος περιλαμβάνει ύδρους, ιλύ και αργιλίους που ήταν δύσκολο να διατρηθεί. Η ακριβής σύσταση του επιφανειακού σχηματισμού για κάθε μια γεώτρηση ξεχωρίστα διδεται με τις καμπύλες της εικόνας 11α, οι οποίες προέκυψαν από την κοκκομετρική ανάλυση των πυρήνων. Σε γενικές γραμμές από τη μορφή των καμπυλών χαρακτηρίζεται σαν ύφισμας άργιλος ως αργιλώδης ύδρος με ύδρο (40% - 60%), ιλύ (30% - 40%) και άργιλο (10% - 20%).
- Κάτω από τον επιφανειακό σχηματισμό (δηλαδή τα 0.50 μέτρα) και μέχρι βάθος 4.00 μέτρα - βάθος μέχρι το οποίο η αρίδα είχε τη δυνατότητα διάτρησης και δειγματοληψίας αναπτύσσεται ένας διαφορετικός σχηματισμός. Κύριο του χαρακτηριστικό είναι η παρουσία καστανέρυθρης ύδρου με ορισμένες ενδιαστρώσεις σε διάφορα βάθη (Εικ. 10) οριζόντων ιλών κυανού χρώματος και πάχους 10-15 εκατοστών ενώ σε ορισμένες θέσεις υπήρχαν και οριομένοι χάλικες. Η σύσταση του υποκείμενου σχηματισμού για κάθε μια γεώτρηση χωριστά διδεται με τις καμπύλες της Εικ. 11β οι οποίες προέκυψαν από τις κοκκομετρικές αναλύσεις των πυρήνων. Σε γενικές γραμμές από τη μορφή των καμπυλών ο σχηματισμός χαρακτηρίζεται σαν ομοιόμορφος με συντελεστή ο-μοιομορφίας (υ) 1.7 ως 3.3 και αποτελείται από λεπτή ύδρο (60% - 70%), μέση ύδρο (10% - 20%) χονδρή ύδρο (0% - 5%) χάλικες (0% - 5%) και ιλύ (0% - 15%). Η προέλευση του σχηματισμού δημοσιεύεται σαν αναφερθεί και σε προηγούμενο κεφάλαιο είναι αιολική γεγονός που εντοπίστηκε από την σχεδόν ίδια μορφή της καμπύλης της κοκκομετρικής ανάλυσης δειγμάτων θειών της



Εικ. 10. Λιθολογικές στήλες των γεωτρήσεων Γ1-Γ5. (1. Χάλικες
2. Μέσαν, Χονδρόκοκκος άμμος 3. Λεπτή άμμος, 4. Ιλύς, 5.
Άργιλος).

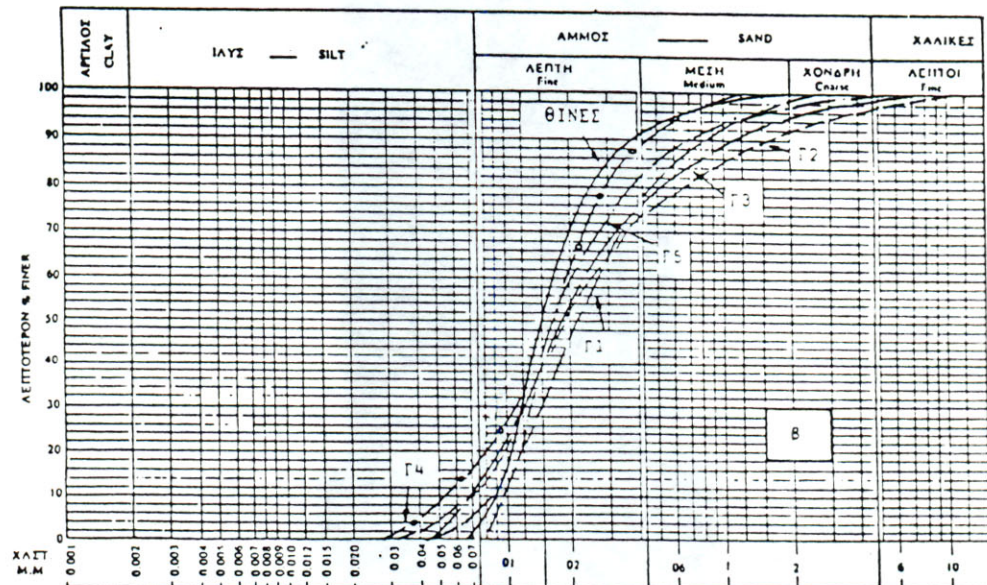
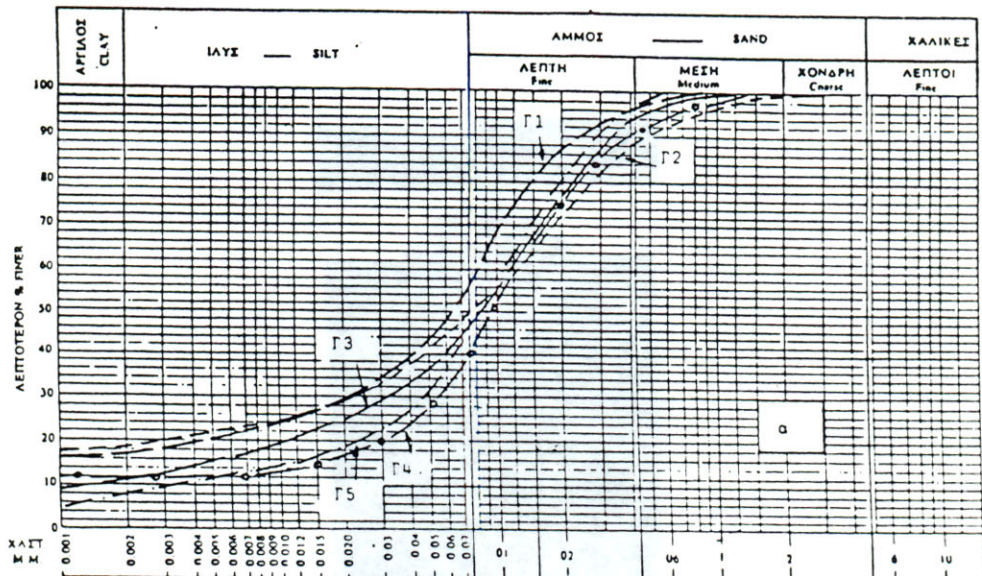
παραλίας της Μπούκας με τις καμπύλες των πυρήνων (Γ1, Γ2, Γ3, Γ5).

Σε βάθος περίπου 0.60 μέτρα από την επιφάνεια και μέσα στον κατώτερο σχηματισμό αναπτύσσεται ένας υδροφόρος ορίζοντας. Λόγω της παρουσίας του υδροφόρου ορίζοντα και της φύσης του σχηματισμού η διατροση του ήταν εξαιρετικά εύκολη ενώ αντίθετα ήταν πολύ δύσκολη η δειγματοληψία λόγω της ροής της άμμου.

Εκτός από τις γεωτρήσεις στην ουγκεκριμένη περιοχή εμφάνισης των φαινομένων και γιά να εξακριβώθει ο λόγος γιά τον οποίο τα φαινόμενα δεν επεκτείνονται και σε παρακείμενες, εκτελέσθηκαν δύο γεωτρήσεις σε γειτονικούς αγρούς. Από τις γεωτρήσεις διαπιστώθηκε ότι και μέχρι βάθος 4.00 μέτρα αναπτύσσεται ένας και μόνος σχηματισμός που ήταν πολύ δύσκολο να διατρηθεί και αποτελείται από ιλύ.

IV ΣΥΝΘΕΣΗ ΤΩΝ ΠΑΡΑΤΗΡΗΣΕΩΝ ΕΡΜΗΝΕΙΑ ΤΩΝ ΦΑΙΝΟΜΕΝΩΝ

Οπως αναφέρθηκε οι εδαφικές διαρρήσεις και τα φαινόμενα εκτίναξης νερού και άμμου παρατηρήθηκαν σε μιά περιοχή έκτασης 10 περίπου στρεμμάτων. Στην περιοχή εμφανίζονται Ολοκαίνυκοι σχηματισμοί και ειδικότερα θίνες οι οποίες καλύπτονται κατά θέσεις από εδαφικό μανδύα, καλλιεργήσιμο έδαφος και ποτάμιες



Εικ. 11. Καμπύλες των κοκκομετρικών αναλύσεων των πυρήνων των γεωτρήσεων (Γ1-Γ5) όπό τον επιφανειακό σχηματισμό (α) και όπό τον υποκείμενο σχηματισμό (β). Διακρίνεται και ο καμπύλης της κοκκομετρικής ανάλυσης δειγμάτος από τις θίνες της ακτής Μπούκας.

αποθέσεις του Πηνειού ποταμού. Οι Ολοκαίνυκοι σχηματισμοί επικάθονται ασύμφωνα σε Πλειο - Πλειστοκαίνυκούς και πιθανώς Μειοκαίνυκούς σχηματισμούς καθίς εποις και σε Αλπικούς σχηματισμούς της Ιόνιας Ενότητας. Στο σύνολό τους οι Μεταλπικοί σχηματισμοί έχουν πληρώσει ένα τεκτονικό βύθισμα διεύθυνσης Β-Ν το οποίο σχηματίζουν οι Αλπικοί σχηματισμοί.

Οι εδαφικές διαρρήξεις προκλήθηκαν από τους σεισμούς της 16-10-1988 έχουν προσβάλλει τον επιφανειακό σχηματισμό που έχει πάχος 50 περίπου εκατοστά. Η στατιστική επεξεργασία των διεύθυνσεων των διαρρήξεων έδειξε ότι υφίστανται 4 συστήματα.

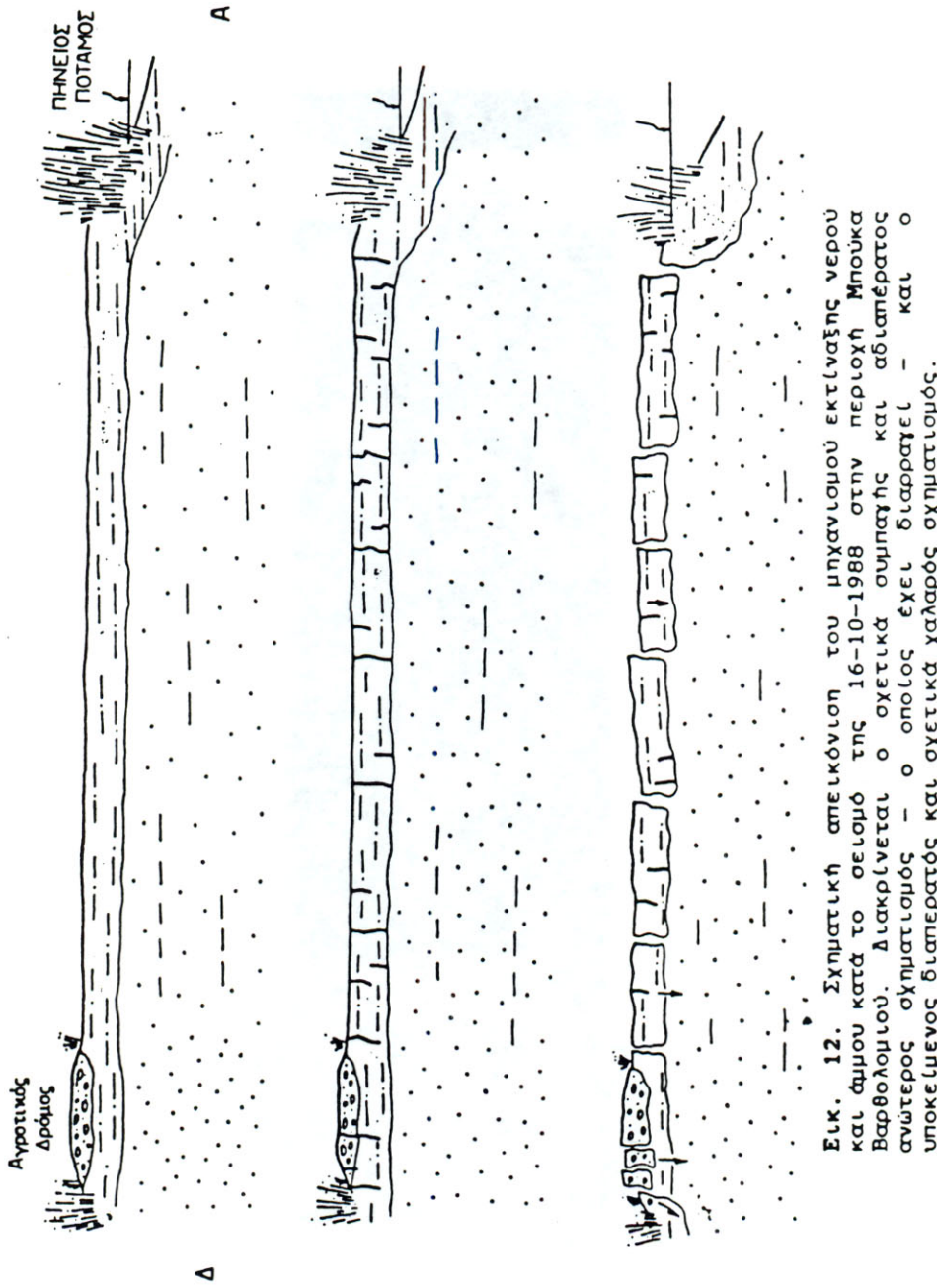
Το πρωτεύον σύστημα το οποίο κυριαρχεί από όπωφι συχνότητας και μήκους έχει διεύθυνση Β-Ν η οποία συμπίπτει (i) με τη διεύθυνση του τεκτονικού βυθίσματος (ii) με τη διεύθυνση των σεισμικών διαρρήξεων που εντοπίσθηκαν σε ασβεστολίθιους της περιοχής Κάστρου και (iii) με τη διεύθυνση των αυλακώσεων λόγω της καλλιέργειας. Η δημιουργία των διαρρήξεων του πρώτου συστήματος μπορεί να αποδοθεί στην παρουσία των αυλακώσεων (ανθρωπογενή αιτία) οι οποίες είχαν σαν αποτέλεσμα την μείωση της αντοχής του επιφανειακού σχηματισμού κατά μήκος τους, δεδουμένου ότι δεν είναι δυνατό να συνδεθεί το τεκτονικό καθεστώς μιας περιοχής με εδαφικές διαρρήξεις κάτω από τις οποίες υπάρχει ένα στρώμα που ρευστοποιήθηκε.

Το δευτερεύον σύστημα έχει διεύθυνση ΝΝΑ-ΒΒΔ και περιλαμβάνει διαρρήξεις οι οποίες εμφανίζονται στο ανατολικό τμήμα της περιοχής και είναι παράλληλες προς την ζήθη του Πηνειού ποταμού καθώς επίσης και στο ΒΔ τμήμα. Η δημιουργία των διαρρήξεων αυτών φαίνεται να οφείλεται σε πλευρική αστάθεια των ακραίων τημημάτων γεγονός που ενισχύεται από τα μεγάλα χάσματα των διαρρήξεων και την ταπείνωση των ακραίων τεμαχών.

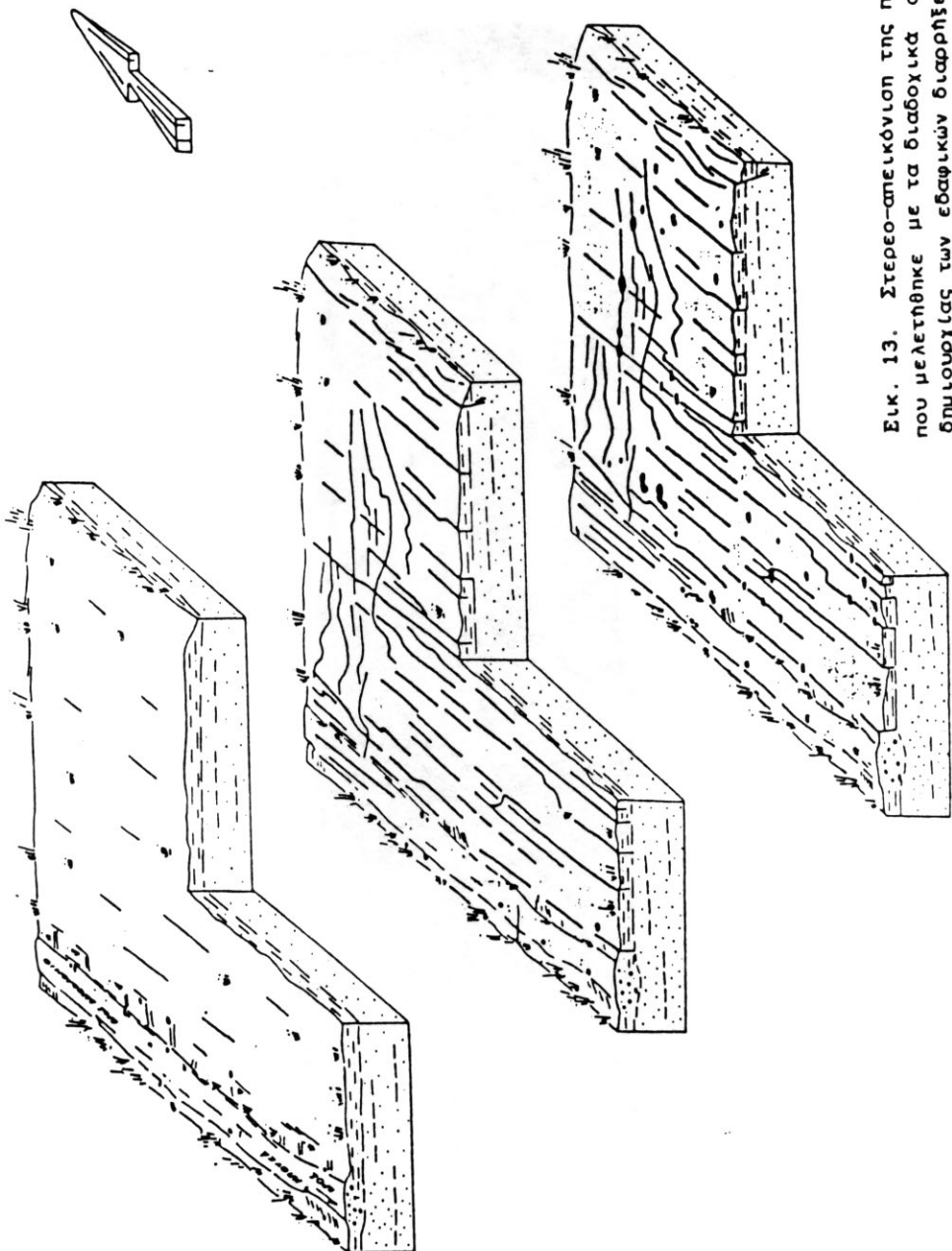
Το τρίτεύον και το υπόλοιπόμενο σύστημα με διεύθυνσεις ΝΑ-ΒΔ (120°-260°) και ΒΑΑ-ΝΔΔ (080-260) αντίστοιχα περιλαμβάνουν διαρρήξεις οι οποίες εμφανίζονται αποκλειστικά σχεδόν στο βόρειο τμήμα και είναι περίπου παράλληλες προς την αρχή της ελώδους θάλασσας. Και η δημιουργία αυτών των διαρρήξεων μπορεί να αποδοθεί σε πλευρική απώλεια στήριξης των ακραίων τημημάτων γεγονός που ενισχύεται από τα μεγάλα χάσματα (πλάστη) καθώς επίσης και την σχετική ταπείνωση των ακραίων ρηγίτεμαχων.

Οι εδαφικές διαρρήξεις έχουν - όπως αναφέρθηκε - βάθος 40 εκατοστά περίπου και παραπρούνται μόνο στον ανώτερο σχηματισμό και όχι στον υποκείμενο. Ο κύριος λόγος γιά αυτή την εκλεκτική παρουσία των διαρρήξεων, είναι το γεγονός ότι ο ανώτερος σχηματισμός είναι πιο συμπαγής και σχετικά πιο άκαμπτος από τον υποκείμενο σχηματισμό ο οποίος είναι σχετικά χαλαρός και εύκαμπτος με έντονη την παρουσία υγρής φάσης.

Τα φαίνομενα εκτίναξης νερού και ύμμου που έλαβαν χώραν κατά τους σεισμούς της 16-10-1988 οφείλονται τόσο στην ίδια τη σεισμική δόνηση δύο και στις ευνοϊκές γεωλογικές συνθήκες και ειδικώτερα στη φύση των δύο ανωτέρων σχηματισμών οι οποίοι υφίστανται αποκλειστικά και μόνο στην περιοχή παρατήρησης των φαίνομένων, σύμφωνα και με τα δεδομένα των γεωτρήσεων. Ειδικώτερα η σεισμική κίνηση είχε σαν αποτέλεσμα τη ρευστοποίηση (liquefaction) των ύμμων του κατώτερου σχηματισμού με αποτέλεσμα ο σχηματισμός στο σύνολό του να σε μεγάλα τμήματά του να συμπεριφέρεται σαν βαρύ ρευστό με μηδαμινή διατυπωτική αντοχή. Όπως είναι γνωστό τα φαίνομενα ρευστοποίησης λαμβάνουν χώρα σταν



Εικ. 12. Σχηματική απεικόνιση του μηχανισμού εκτίναξης νερού και άιμου κατά το σεισμό της 16-10-1988 στην περιοχή Μπουκά Βαρθολομέου. Αισικρίνεται ο οχετικός ουμπασής και αδιαπερατός ανώτερος οχηματισμός – ο οποίος έχει διαρραγεί – και ο υποκείμενος διαπερατός και οχετικά χαλαρός οχηματισμός.



Εικ. 13. Στερεο-πλευρόνιστη περιοχής που μετεπίποτε με τα διάδοχα στάδια δημιουργίας των εθαφικών διαφράξεων και της εκτίναξης νερού και φυσού

χαλαροί άμμοι ή ιλιώδεις άμμοι υπόκεινται σε ορισμένου πλάτους διατυπωτικές επαναλαμβανόμενες παραμορφώσεις (π.χ. σειριακό κύμα).

Η δημιουργία των διαρρήξεων στον ανώτερο σχηματισμό ταυτόχρονα διευκόλυνε την εκτίναξη του νερού προς τα άνω το οποίο παρέσυρε και υλικά του κατώτερου σχηματισμού. Η ταχύτητα εκτίναξης ορισθήκε από το είδος και το μέγεθος των διαρρήξεων και ήταν καθοριστικός παράγοντας για την άνοδο λεπτομερών ή χονδρόκοκκων υλικών, τα οποία αποτέθηκαν γύρω από τις εξόδους. Η κίνηση του νερού προς οριζόντια - πλάγια κατεύθυνση πιθανώτατα να εμποδίσθηκε σε μεγάλο βαθμό από την απόφραξη των διόδων λόγω της ταπείνωσης των πλευρικών ρηξιτεμαχών (Εικ. 12, 13) αλλά και της παρουσίας αργιλικών υλικών και υλίσος από τις αποθέσεις του Πηνειού ποταμού και των έλών.

Η εκτίναξη νερού και άμμου ενισχύθηκε κατά θέσεις σημαντικά και από τη δημιουργία ανεξάρτητων μικρο-ρηξιτεμαχών στον ανώτερο σχηματισμό λόγω της δημιουργίας των εδαφικών διαρρήξεων οι οποίες και τα ορισθετούν. Συγκεκριμένα ορισμένα μικρο - ρηξιτεμάχη βρέθηκαν κάτω από συνθήκες απώλειας στήριξης με αποτέλεσμα να βυθισθούν ή να περιστραφούν γεγονός που φαίνεται και από τα μικρά άλματα ή τις οριζόντιες μετατοπίσεις. Η σχετική κίνηση προς τα κάτω ορισμένων μικρο - ρηξιτεμαχών του ανώτερου σχηματισμού υποβοήθηκε την εκτίναξη προς τα άνω του νερού.

Η απουσία φαίνομένων εκτίναξης κατά μήκος των εδαφικών διαρρήξεων που παραπρούνται κατά μήκος του δρόμου ή εκατέρωθεν αυτού οφείλεται κατά πάσα πιθανότητα στη μειωμένη υδροφορία του κατώτερου σχηματισμού - στα συγκεκριμένα ομελα - λόγω της τεχνικής ουμπύκνωσης του από τις εργασίες για την κατασκευή του αγροτικού δρόμου (οδόστρωση - επιχωμάτωση).

ΒΙΒΛΙΟΓΡΑΦΙΑ

ΧΡΙΣΤΟΔΟΥΛΟΥ, Γ. (1969). - Γεωλογικός χάρτης της Ελλάδας κλ. 1:50.000 Φύλλο "Βαρθολομείο", ΙΓΜΕ, Αθήνα.

ΧΡΙΣΤΟΔΟΥΛΟΥ, Γ. (1970). - Über die neogenen Ablagerungen im Gebiet von Kyllini (NW. Peloponnes). I.G.M.E., Special Publication, 11, 1-60.

ΔΑΒΗ, Ε. (1957). - Les foraminifères neogens d' Elide (Peloponnese). Ann. Geol. pays Hellen. 8, 263-268, Athens.

ФАНГ, HONGQI. (1987). - Some principal characteristics of Strong Earthquake - Induced landsliding in Plain Regions. Proceedings Regional Crustal Stability & Geological Hazards, IGCP No 250, December 1987, Beijing, China p. 36-43.

ΓΑΛΑΝΟΠΟΥΛΟΣ, Α. (1976). - Στοιχεία σεισμολογίας και φυσικής του εωτερικού της γης. Εκδόσεις Παν/μίου Αθηνών.

HAGEMAN, J. (1977). - Stratigraphy and sedimentary History of the Upper Cenozoic of the Pyrgos area (W. Peloponnesus.

Greece). Ann. Geol. pays Helle. 28, 299-333.

HECK, N. (1936). - Earthquakes. Princeton University Press.

ΚΑΜΠΙΕΡΗΣ, Ε. (1987). - Γεωλογική και Πετρελαιογεωλογική μελέτη
Β.Δ. Πελοποννήσου. Διδακτορική διατριβή. Ε.Μ.Π.

KOWALCZYK, G. & WINTER, K.P. (1979a). - Die geological
Entwicklung der Kyllini - Halbinsel in Neogene and Quartaz
(West Peloponnes, Griechenland), Z. dt geol. Ges., 130.

KOWALCZYK, G. & WINTER, K.P. (1979b). - Outline of the Cenozoic
history of the Kyllini peninsula, W. Peloponnese. In:
Symeonides, N. Papanikolaou D. and Dermitzakis, M. Field guide
to the Neogene of Megara-Peloponnesus-Zakynthos Department of
Geology and Palaeontology, S. A, No 34.

ΜΑΡΑΒΕΛΑΚΗ, Ι. ΜΑΞ. (1941). - Γεωλογική και μακροσειρμική σπουδή
του ερημωτικού σεισμού της Λαρίσης της 1ης Μαρτίου 1941.
Άντιτυπο εκ της Τριακονταπενταετηρίδος του καθηγότου Ν.
Κρητικού (1907-1942).

ΠΑΠΑΣΤΑΜΑΤΙΟΥ, Δ. & ΜΟΥΤΙΑΡΗΣ, Ν. - (1986). - Ο σεισμός των
Σοφάδων της 30ης Απριλίου 1954 - Παρατηρήσεις υπαίθρου του
Γιάννη Παπασταματίου. Γεωφ. - Γεωλ. Μελ., ΙΓΜΕ 1986 σελ. 341-362.

SEED, I. B. (1976). - Evaluation of Soil Liquefaction Effects on
Level Ground during Earthquakes. Amer. Soc. of Civil Eng.
Liquefaction problems in geotechnical engineering, 1-19.

TALAGANOV, K., PETROVSKI, J., & MIHAJOV, V. (1981). - Soil
Liquefaction Seismic Risk Analysis Based on Post 1979 Earthquake
Observations in Montenegro. International Conference on Recent
Advances in Geotechnical Earthquake Engineering and Soil Dynamics
1981, Univ. of Missouri - Rolla.

UNDERHILL, J.P. (1988). - Triassic evaporites and
Plio-Quaternary diapirism in Western Greece. Journal of the
Geological Society, London, Vol. 145, p.p. 269-282.

UNDERHILL, J.R. (1985). - Neogene and Quaternary tectonics and
sedimentation in Western Greece. PhD. thesis, Univ. Wales.

WAKITA, H. (1984-85). - Changes in Groundwater level and
Chemical Composition: Earth.predic.techn. and their appl.
Tokyo Press, 175-216.

WINTER, K.P. (1977). - Zur neotektonischen Entwicklung im
Bereich der Kyllini - Halbinsel (Vartholomion sheet) W.
Peloponnes. In: Kallergis, G. Proceedings of the vi
Colloquium on the Geology of the Aegean region. Vol. I
(I.G.M.E.) Greece p.p. 425-34.